

# СТРОЕНИЕ ОРГАНИЧЕСКИХ И ЭЛЕМЕНТООРГАНИЧЕСКИХ СОЕДИНЕНИЙ

**В.В. Шарутин**

Южно-Уральский государственный университет, г. Челябинск, Россия

Методом рентгеноструктурного анализа (PCA) определено строение восьми органических и элементоорганических соединений. PCA соединений проводили на автоматическом четырехкружном дифрактометре D8 Quest Bruker (Mo $K_{\alpha}$ -излучение,  $\lambda = 0,71073 \text{ \AA}$ , графитовый монохроматор) при 293 К. Соединение [Ph<sub>3</sub>PMe] [RuCl<sub>4</sub>(DMSO)<sub>2</sub>] (**1**)  $P-1$ ,  $a = 8,4181(3)$ ,  $b = 8,9389(3)$ ,  $c = 11,1396(4) \text{ \AA}$ ,  $\alpha = 69,754(1)$ ,  $\beta = 81,913(2)$ ,  $\gamma = 64,491(1)$  град.,  $V = 709,75(4) \text{ \AA}^3$ ,  $Z = 1$ . [Ph<sub>3</sub>PC<sub>6</sub>H<sub>4</sub>CH<sub>2</sub>CN] Cl · CHCl<sub>3</sub> (**2**),  $P 21/n$ ,  $a = 9,846(6) \text{ \AA}$ ,  $b = 15,782(14) \text{ \AA}$ ,  $c = 15,111(10) \text{ \AA}$ ,  $\alpha = 90$ ,  $\beta = 91,027(18)$ ,  $\gamma = 90$  град.,  $V = 2348(3) \text{ \AA}^3$ ,  $Z = 4$ . Ph<sub>4</sub>SbOC<sub>6</sub>H<sub>4</sub>(NO<sub>2</sub>-4) (**3**),  $P-1$ ,  $a = 11,101(6)$ ,  $b = 12,684(6)$ ,  $c = 19,359(9) \text{ \AA}$ ,  $\alpha = 80,973(17)$ ,  $\beta = 80,17(2)$ ,  $\gamma = 72,31(3)$  град.,  $V = 2543(2) \text{ \AA}^3$ ,  $Z = 4$ . (4-BrC<sub>6</sub>H<sub>4</sub>)<sub>3</sub>Sb (**4**),  $P-1$ ,  $a = 6,273(12)$ ,  $b = 12,83(2)$ ,  $c = 13,26(3) \text{ \AA}$ ,  $\alpha = 78,67(8)$ ,  $\beta = 84,33(9)$ ,  $\gamma = 80,81(7)$  град.,  $V = 1031(3) \text{ \AA}^3$ ,  $Z = 2$ . Ph<sub>4</sub>PBr · H<sub>2</sub>O (**5**),  $P-1$ ,  $a = 10,025(10)$ ,  $b = 10,676(10)$ ,  $c = 10,706(13) \text{ \AA}$ ,  $\alpha = 77,56(4)$ ,  $\beta = 71,80(4)$ ,  $\gamma = 83,26(3)$  град.,  $V = 1061(2) \text{ \AA}^3$ ,  $Z = 2$ . [4-MeOC<sub>6</sub>H<sub>4</sub>]<sub>3</sub>Sb (**6**),  $R-3$ ,  $a = 13,27(3)$ ,  $b = 13,27(3)$ ,  $c = 19,24(7) \text{ \AA}$ ,  $\alpha = 77,56(4)$ ,  $\beta = 90$ ,  $\gamma = 120$  град.,  $V = 2935(20) \text{ \AA}^3$ ,  $Z = 6$ . [Ph<sub>3</sub>PCH<sub>2</sub>C<sub>6</sub>H<sub>4</sub>CN-4]Cl,  $P 21/n$ ,  $a = 9,456(6)$ ,  $b = 14,733(9)$ ,  $c = 16,271(9) \text{ \AA}$ ,  $\alpha = 90$ ,  $\beta = 104,83(2)$ ,  $\gamma = 90$  град.,  $V = 2191(2) \text{ \AA}^3$ ,  $Z = 4$ . [Ph<sub>3</sub>PCH<sub>2</sub>OH]Cl,  $P 21/c$ ,  $a = 8,888(9)$ ,  $b = 17,795(19)$ ,  $c = 11,278(12) \text{ \AA}$ ,  $\alpha = 90$ ,  $\beta = 99,52(4)$ ,  $\gamma = 90$  град.,  $V = 1759(3) \text{ \AA}^3$ ,  $Z = 4$ .

**Ключевые слова:** строение, органическое, элементоорганическое соединение, рентгеноструктурный анализ.

При появлении в Южно-Уральском государственном университете современного дифрактометра D8 Quest возможность определения кристаллических структур органических, неорганических, координационных и элементоорганических соединений неизмеримо возросла, поэтому представлялось возможным определить строение не только основных кристаллических продуктов реакций, но и миорных, иногда выделяемых из реакционной смеси в следовых количествах, а также некоторых исходных соединений.

В продолжение изучения строения производных элементов в настоящей работе впервые исследовано строение восьми неизвестных ранее соединений.

## Экспериментальная часть

Рентгеноструктурный анализ кристаллов соединений **1–8** проводили на дифрактометре D8 Quest фирмы Bruker (Mo  $K_{\alpha}$ -излучение,  $\lambda 0,71073 \text{ \AA}$ , графитовый монохроматор) при 293 К. Сбор, редактирование данных и уточнение параметров элементарной ячейки, а также учет поглощения проведены по программам SMART и SAINT-Plus [1]. Все расчеты по определению и уточнению структуры выполнены по программам SHELXL/PC [2] и OLEX2 [3]. Структуры определены прямым методом и уточнены методом наименьших квадратов в анизотропном приближении для неподородных атомов. Основные кристаллографические данные и результаты уточнения структур **1–8** приведены в табл. 1, основные длины связей и валентные углы – в табл. 2.

Полные таблицы координат атомов, длин связей и валентных углов депонированы в Кембриджском банке структурных данных (№ 1895767 (**1**), № 1895761 (**2**), № 1812366 (**3**), № 1895766 (**4**), № 1895762 (**5**), № 1895768 (**6**), № 1895764 (**7**), № 1895763 (**8**); deposit@ccdc.cam.ac.uk; <http://www.ccdc.cam.ac.uk>).

## Обсуждение результатов

Сотрудниками лаборатории химии элементоорганических соединений Южно-Уральского государственного университета (ЮУрГУ) задепонированы в банке структурных данных Кем-

бриджского университета структуры более 700 элементоорганических, неорганических и органических производных [4]. Особенности строения многих комплексов переходных и непереходных металлов обсуждаются в ряде работ сотрудников ЮУрГУ [5–7] и иностранных авторов, например [8–25].

В продолжение изучения строения указанных производных, в настоящей работе были сняты и расшифрованы структуры восьми комплексных и элементоорганических соединений (рис. 1–8 и табл. 1, 2).

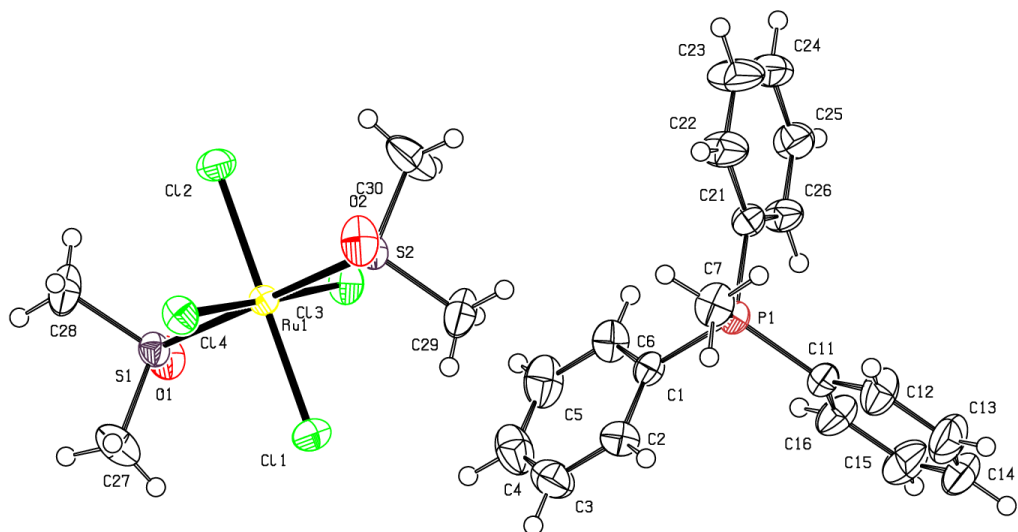


Рис. 1. Строение соединения  $[\text{Ph}_3\text{PMe}] [\text{RuCl}_4(\text{DMSO})_2]$  (1)

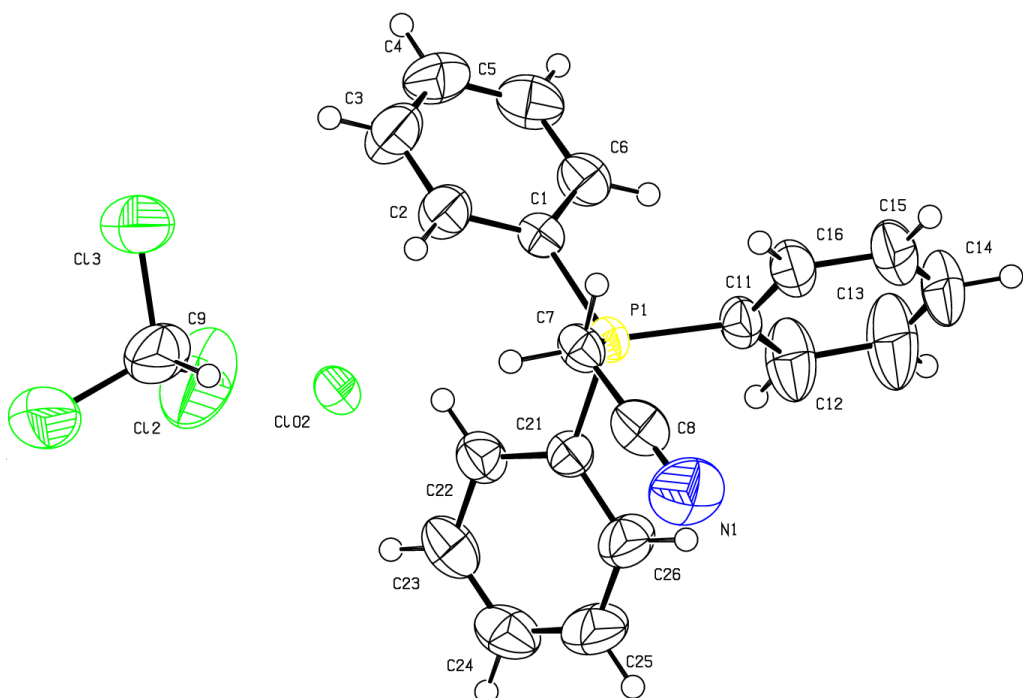


Рис. 2. Строение соединения  $[\text{Ph}_3\text{PC}_6\text{H}_4\text{CH}_2\text{CN}] \text{Cl} \cdot \text{CHCl}_3$  (2)

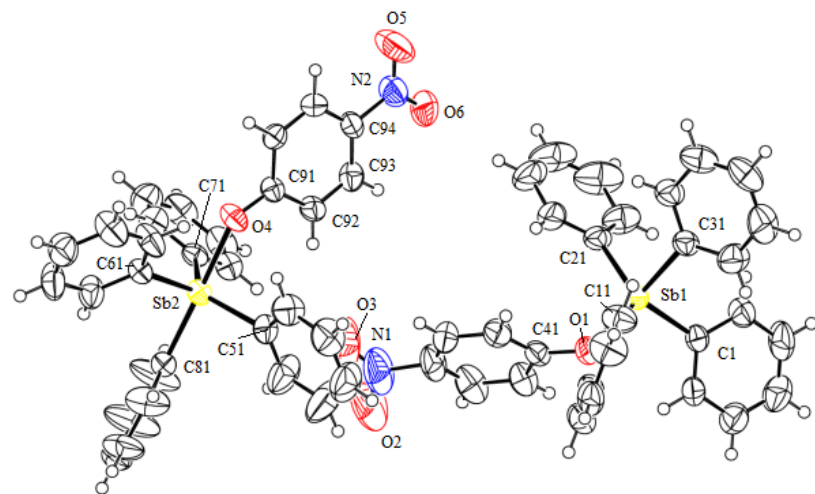


Рис. 3. Строение соединения  $\text{Ph}_4\text{SbOC}_6\text{H}_4(\text{NO}_2)_4$  (3)

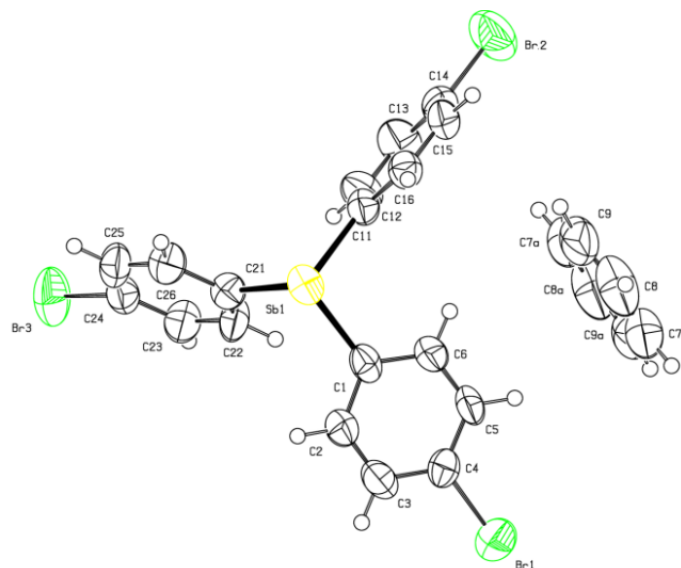


Рис. 4. Строение соединения  $(4\text{-BrC}_6\text{H}_4)_3\text{Sb}\cdot\text{C}_6\text{H}_6$  (4)

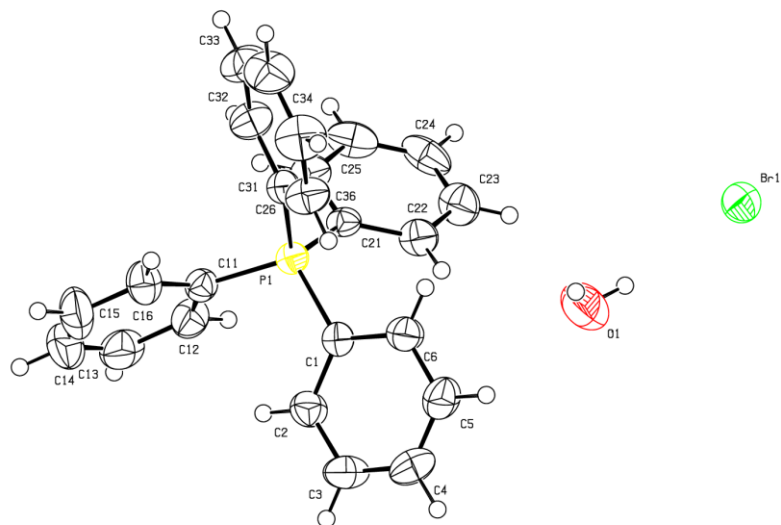
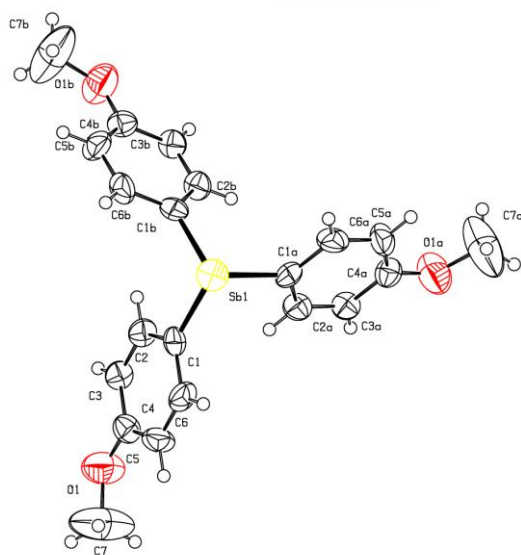
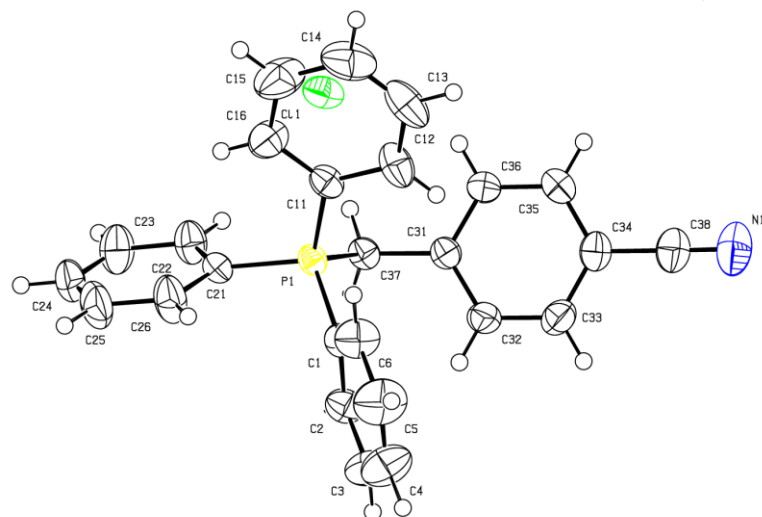
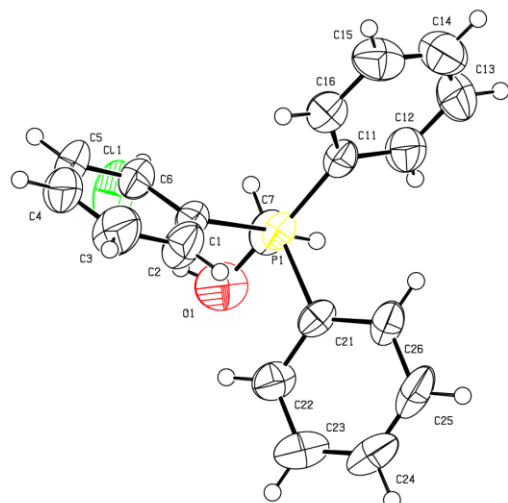


Рис. 5. Строение соединения  $\text{Ph}_4\text{PBr}\cdot\text{H}_2\text{O}$  (5)

Рис. 6. Строение соединения  $[4\text{-MeOC}_6\text{H}_4]_3\text{Sb}$  (6)Рис. 7. Строение соединения  $[\text{Ph}_3\text{PCH}_2\text{C}_6\text{H}_4\text{CN-4}]\text{Cl}$  (7)Рис. 8. Строение соединения  $[\text{Ph}_3\text{PCH}_2\text{OH}]\text{Cl}$  (8)

# Физическая химия

Таблица 1

**Кристаллографические данные, параметры эксперимента и уточнения структур соединений 1–8**

Параметр	Значение						
	1	2	3	4	5	6	7
Формула	$C_{23}H_{30}O_3S_2Cl_4Ru$	$C_{21}H_{18}N_2O_3Sb$	$C_{21}H_{15}Br_3Sb$	$C_{24}H_{22}OPBr$	$C_{21}H_{21}SbO_3$	$C_{26}H_{21}NPCl$	$C_{19}H_{18}PClO$
$M$	676,43	457,13	1136,50	628,81	437,30	443,13	413,89
Сингония	Моноклинная	Триклинная	Триклинная	Триклинная	Триклинная	Моноклинная	Моноклинная
Пр. группа	P-1	P-1	P-1	P-1	R-3	P2 <sub>1</sub> /n	P2 <sub>1</sub> /c
$a, \text{\AA}$	8.418(13)	9.846(6)	11.101(6)	6.273(12)	10.025(10)	13.27(7)	9.456(6)
$b, \text{\AA}$	8.9389(3)	15.783(14)	12.684(6)	12.83(2)	10.676(10)	13.274	14.733(9)
$c, \text{\AA}$	11.1396(4)	15.111(10)	19.359(9)	13.26(3)	10.706(13)	19.24(7)	16.271(9)
$a, \text{\AA}$	69,7540(10)	90,00	80,973(17)	78,67(8)	77,56(4)	90,00	90,00
$b, \text{\AA}$	81,913(2)	91,027(18)	80,17(2)	84,33(9)	71,80(4)	90,00	104,83(2)
$\gamma, {}^\circ$	64,4910(10)	90,00	72,31(3)	80,81(7)	83,26(3)	120,00	90,00
$V, \text{\AA}^3$	709,75(4)	2348(3)	2543(2)	1030(3)	1061,4(19)	2936(19)	2191(2)
$Z$	1	4	2	2	2	4	4
$\rho(\text{выч.}), \text{г/см}^3$	1,583	1,293	1,484	2,028	1,368	0,501	1,2544
$\mu, \text{MM}^{-1}$	1,152	0,578	1,116	7,159	2,022	0,475	0,259
$F(000)$	343,0	936,0	1144,0	594,0	448,0	444,0	865,3
Размер кристалла (мм)	0,49×0,17×0,15	0,66×0,3×0,21	0,39×0,19×0,08	0,61×0,27×0,1	0,26×0,24×0,1	0,15×0,14×0,11	0,6×0,32×0,32
Область сбора данных по $\theta$ , град.	6,6–75,78	6,62–48,3	6,18–43,04	6,28–42,84	5,96–38,1	4,12–39,08	6,1–70,28
Интервалы индексов отражений	-14 ≤ $h$ ≤ 14, -15 ≤ $k$ ≤ 15, -19 ≤ $l$ ≤ 19	-10 ≤ $h$ ≤ 11, -18 ≤ $k$ ≤ 18, -17 ≤ $l$ ≤ 17	-11 ≤ $h$ ≤ 11, -12 ≤ $k$ ≤ 12, -19 ≤ $l$ ≤ 19	-6 ≤ $h$ ≤ 6, -13 ≤ $k$ ≤ 13, -13 ≤ $l$ ≤ 13	-9 ≤ $h$ ≤ 9, -9 ≤ $k$ ≤ 9, -9 ≤ $l$ ≤ 9	-12 ≤ $h$ ≤ 12, -12 ≤ $k$ ≤ 12, -17 ≤ $l$ ≤ 17	-15 ≤ $h$ ≤ 15, 23 ≤ $k$ ≤ 23, 26 ≤ $l$ ≤ 25
Измерено отражений	67323	20482	21099	11151	7734	1747	55178
Независимых отражений	15194 ( $R_{\text{int}} = 0,0309$ )	3727 ( $R_{\text{int}} = 0,0260$ )	5572 ( $R_{\text{int}} = 0,0251$ )	2283 ( $R_{\text{int}} = 0,0457$ )	1687 ( $R_{\text{int}} = 0,0248$ )	565 ( $R_{\text{int}} = 0,0655$ )	9692 ( $R_{\text{int}} = 0,0434$ )
Переменных уточнения	303	244	631	227	252	77	9692/0/261
GOOF	1,054	1,027	1,066	1,093	1,107	1,126	1,056
$R$ -факторы по $F^2 > 2\sigma(F^2)$	$R_1 = 0,0299,$ $wR_2 = 0,0619$	$R_1 = 0,0472,$ $wR_2 = 0,1204$	$R_1 = 0,0209,$ $wR_2 = 0,0467$	$R_1 = 0,0342,$ $wR_2 = 0,0740$	$R_1 = 0,0223,$ $wR_2 = 0,0511$	$R_1 = 0,0575,$ $wR_2 = 0,1715$	$R_1 = 0,0924,$ $wR_2 = 0,1227$
$R$ -факторы по всем отражениям	$R_1 = 0,0414,$ $wR_2 = 0,0654$	$R_1 = 0,0564, wR_2 = 0,1292$	$R_1 = 0,0284, wR_2 = 0,0502$	$R_1 = 0,0434, wR_2 = 0,0781$	$R_1 = 0,0267, wR_2 = 0,0536$	$R_1 = 0,0771, wR_2 = 0,1884$	$R_1 = 0,1137,$ $wR_2 = 0,1468$
Остаточная электронная плотность (min/max), $e/\text{\AA}^3$	0,86/-0,51	0,58/-0,70	0,22/-0,26	0,71/-0,83	0,11/-0,25	0,77/-0,55	0,73/-0,77
							2,04/-0,76

Таблица 2

## Основные длины связей и валентные углы в структурах 1–8

Связь	Длина, Å	Угол	ω, град.
<b>1</b>			
Ru1–Cl1	2,3535(5)	Cl1Ru1Cl2	179,78(3)
Ru1–Cl4	2,3513(5)	Cl4Ru1Cl1	91,27(2)
Ru1–Cl3	2,3495(5)	Cl3Ru1Cl4	179,05(2)
Ru1–Cl2	2,3617(5)	Cl3Ru1S1	92,336(18)
Ru1–S1	2,3520(5)	S2Ru1Cl4	92,044(17)
Ru1–S2	2,3452(5)	S2Ru1Cl3	88,144(18)
P1–C11	1,7968(15)	S2Ru1S1	179,45(2)
P1–C1	1,7888(16)	C1P1C7	107,89(9)
P1–C21	1,7852(19)	C7P1C11	110,66(9)
P1–C7	1,7918(18)	O1S1Ru1	117,76(7)
S1–O1	1,4729(15)	O1S1C28	107,12(12)
S1–C28	1,775(3)	O1S1C27	106,97(11)
S1–C27	1,778(3)	C28S1Ru1	111,72(9)
S2–O2	1,4711(15)	C28S1C27	99,30(16)
S2–C29	1,763(2)	C27S1Ru1	112,26(9)
S2–C30	1,780(3)	O2S2Ru1	118,08(7)
<b>2</b>			
Cl1–C9	1,764(5)	C21P1C7	108,57(12)
Cl2–C9	1,732(5)	C11P1C21	110,30(13)
Cl3–C9	1,756(4)	C11P1C7	108,06(13)
P1–C21	1,791(3)	C1P1C21	110,62(12)
P1–C11	1,787(3)	C1P1C11	111,12(12)
P1–C1	1,787(3)	C1P1C7	108,07(13)
P1–C7	1,809(3)	C26C21P1	120,6(2)
<b>3</b>			
Sb1–O1	2,225(2)	C1Sb1C21	117,68(13)
Sb1–C21	2,122(3)	C1Sb1C11	111,39(12)
Sb1–C11	2,127(3)	C21Sb1C11	127,95(13)
Sb1–C1	2,113(3)	C31Sb1O1	176,92(10)
Sb1–C31	2,172(3)	C21Sb1C31	93,84(12)
Sb2–O4	2,214(2)	C1Sb1C31	97,82(13)
Sb2–C71	2,122(3)	C1Sb1O1	81,79(10)
Sb2–C81	2,171(3)	C61Sb2C71	115,57(12)
Sb2–C61	2,121(3)	C51Sb2C61	114,59(12)
Sb2–C51	2,121(3)	C51Sb2C71	127,12(12)
O1–C41	1,314(4)	C81Sb2O4	178,13(10)
O2–N1	1,216(6)	C71Sb2O4	83,93(10)
O4–C91	1,307(4)	C71Sb2C81	94,56(11)
O5–N2	1,230(4)	C61Sb2O4	82,59(10)
<b>4</b>			
Sb1–C1	2,098(8)	C1Sb1C11	95,6(3)
Sb1–C11	2,132(8)	C1Sb1C21	97,6(3)
Sb1–C21	2,132(8)	C21Sb1C11	98,0(3)
Br1–C4	1,872(8)	C3C4Br1	119,2(6)
Br2–C14	1,878(8)	C5C4Br1	120,5(6)
Br3–C24	1,875(8)	C13C14Br2	120,6(7)
Преобразования симметрии: 1–x, 2–y, 1–z			
<b>5</b>			
P1–C11	1,786(4)	C11P1C1	107,59(17)
P1–C1	1,793(4)	C1P1C21	109,47(16)

Связь	Длина, Å	Угол	ω, град.
P1—C21	1,797(4)	C1P1C31	111,94(17)
P1—C31	1,793(4)	C31P1C21	109,02(17)
	<b>6</b>		
Sb1—C1 <sup>1</sup>	2,197(15)	C1 <sup>1</sup> Sb1C1	94,9(6)
Sb1—C1	2,197(16)	C1Sb1C1 <sup>2</sup>	94,9(5)
Sb1—C1 <sup>2</sup>	2,197(14)	C1 <sup>1</sup> Sb1C1 <sup>2</sup>	94,9(5)
Преобразования симметрии: <sup>1</sup> 2-y, 1+x-y, +z; <sup>2</sup> 1+y-x, 2-x, +z			
	<b>7</b>		
P1—C21	1,7894(16)	C37P1C21	108,31(6)
P1—C1	1,7867(17)	C11P1C21	109,92(6)
P1—C37	1,8071(16)	C11P1C1	108,91(7)
P1—C11	1,7916(15)	C11P1C37	111,98(6)
	<b>8</b>		
P1—C1	1,786(4)	C1P1C21	108,37(17)
P1—C21	1,800(4)	C1P1C7	111,41(19)
P1—C11	1,782(4)	C11P1C1	110,58(17)
P1—C7	1,834(4)	C11P1C21	109,72(17)

### Выводы

В настоящей работе методом PCA расшифровано строение восьми органических и элементоорганических соединений.

### Литература

1. Bruker. SMART and SAINT-Plus. Versions 5.0. Data Collection and Processing Software for the SMART System. Bruker AXS Inc., Madison, Wisconsin, USA, 1998.
2. Bruker. SHELXTL/PC. Versions 5.10. An Integrated System for Solving, Refining and Displaying Crystal Structures From Diffraction Data. Bruker AXS Inc., Madison, Wisconsin, USA, 1998.
3. OLEX2: a Complete Structure Solution, Refinement and Analysis Program / O.V. Dolomanov, L.J. Bourhis, R.J. Gildea et al. // J. Appl. Cryst. – 2009. – V. 42. – P. 339–341. DOI: 10.1107/S0021889808042726.
4. Cambridge Crystallographic Data Center. 2019 (deposit@ccdc.cam.ac.uk; <http://www.ccdc.cam.ac.uk>).
5. Шарутина, О.К. Молекулярные структуры органических соединений сурьмы (V) / О.К. Шарутина, В.В. Шарутин. – Челябинск: Издательский центр ЮУрГУ, 2012. – 395 с.
6. Interaction of Pentaphenylantimony with Carboranedicarboxylic Acid / V.V. Sharutin, O.K. Sharutina, Y.O. Gubanova et al. // J. Organomet. Chem. – 2015. – V. 798. – P. 41–45.
7. Synthesis and Structure of bic(tetraphenyl-λ<sup>5</sup>-stibanyl)-1,7-carborane-1,7-dicarboxylate / V.V. Sharutin, O.K. Sharutina, Y.O. Gubanova et al. // Mendeleev Commun. – 2018. – V. 28. – P. 621–622.
8. Rawashdeh-Omary, M.A. Oligomerization of Au(CN)<sub>2</sub><sup>-</sup> and Ag(CN)<sub>2</sub><sup>-</sup>-ions in solution via ground-state aurophilic and argentophilic bonding / M.A. Rawashdeh-Omary, M.A. Omary, H.H. Patterson // J. Am. Chem. Soc. – 2000. – V. 122. – P. 10371–10380. DOI: 10.1021/ja001545w.
9. Luminescence thermochromism in dicyanoargentate (I) ions doped in alkali halide crystals / M.A. Rawashdeh-Omary, M.A. Omary, G.E. Shankle et. al. // J. Phys. Chem. B. – 2000. – V. 104. – P. 6143–6151. DOI: 10.1021/jp000563x.
10. Assefaa, Z. Hydrothermal syntheses, structural, Raman, and luminescence studies of Cm[M(CN)<sub>2</sub>]<sub>3</sub> · 3H<sub>2</sub>O and Pr[M(CN)<sub>2</sub>]<sub>3</sub> · 3H<sub>2</sub>O (M = Ag, Au) 2. Hetero-bimetallic coordination polymers consisting of trans-plutonium and transition metal elements / Z. Assefaa, R.G. Haireb, R.E. Sykorac // Journal of Solid State Chemistry. – 2008. – V. 181. – P. 382–391. DOI: 10.1016/j.jssc.2007.11.036.
11. Tunable photoluminescence of closed-shell heterobimetallic Au–Ag dicyanide layered systems / J.C.F. Colis, Ch.Larochelle, E.J. Fernández et. al. // J. Phys. Chem. B. – 2005. – V. 109. – P. 4317–4323. DOI: 10.1021/jp045868g.

12. Hydrothermal synthesis, structural, Raman, and luminescence studies of  $\text{Am}[\text{M}(\text{CN})_2]_3 \cdot 3\text{H}_2\text{O}$  and  $\text{Nd}[\text{M}(\text{CN})_2]_3 \cdot 3\text{H}_2\text{O}$  ( $\text{M}=\text{Ag, Au}$ ): Bimetallic coordination polymers containing both trans-plutonium and transition metal elements / Z. Assefaa, K. Kalachnikova, R.G. Hairec et al. // Journal of Solid State Chemistry. – 2007. – V. 180. – P. 3121–3129. DOI: 10.1016/j.jssc.2007.08.032.
13. Roberts, R.J. Color-tunable and white-light luminescence in lanthanide-dicyanoaurate coordination polymers / R.J. Roberts, D. Le, D.B. Leznoff // Inorg. Chem. – 2017. – V. 56, iss. 14. – P. 7948–7959. DOI: 10.1021/acs.inorgchem.7b00735.
14. Wheatley, P.J. The Crystal and Molecular Structure of Aspirin / P.J. Wheatley // J. Am. Chem. Soc. – 1964. – P. 6036–6048. DOI: 10.1039/JR9640006036.
15. Carbodicarbenes: Unexpected  $\pi$ -Accepting Ability during Reactivity with Small Molecules / W.-C. Chen, W.-C. Shih, T. Jurca et al. // J. Am. Chem. Soc. – 2017. – V. 139. – P. 12830–12836. DOI: 10.1021/jacs.7b08031.
16. The Chemistry of Heteroarylphosphorus Compounds, Part 16.+ An X-Ray Structural Study of (2-Thienyl)bis(2,2'-biphenylylene)phosphorane. A Comparison with Related Methyl and Aryl bis(2,2'-biphenylylene)-spirophosphoranes / D.W. Allen, L.A. March, I.W. Nowell, J.C. Tebby // Z. Naturforsch. B. Chem. Sci. – 1983. – Bd. 38. – P. 465–469. DOI: 10.1515/znb-1983-0413.
17. Form Formation of a Dicyanotriorganophosphorane from the Reaction of Triphenylphosphane with Phenylselenocyanate / N.A. Barnes, S.M. Godfrey, R.T.A. Halton et al. // Angew. Chem. Int. Ed. – 2006. – V. 45. – P. 1272–1275. DOI: 10.1002/anie.200503335.
18. 5-Organyl-5-phosphaspiro[4.4]nonanes: a contribution to the structural chemistry of spirocyclic tetraalkylphosphonium salts and pentaalkylphosphoranes / U. Monkowius, N.W. Mitzel, A. Schier, H. Schmidbaur // J. Am. Chem. Soc. – 2002. – V. 124. – P. 6126–6132. DOI: 10.1021/ja012041g.
19. Diphosphanylketenimines: new reagents for the synthesis of unique phosphorus heterocycles / J. Ruiz, F. Marquinez, V. Rieraet al. // Chem.-Eur. J. – 2002. – V. 8. – P. 3872–3878. DOI: 10.1002/1521-3765(20020902)8:17.
20. Muller, G. Crystal and Molecular Structure of  $\text{P}(\text{C}_6\text{H}_5)_5 \cdot 0.5 \text{ THF}$  / G. Muller, U.J. Bildmann // Z. Naturforsch. B. Chem. Sci. – 2004. – Bd. 59, № 11–12. – P. 1411–1414. DOI: 10.1515/znb-2004-11-1207.
21. Day, R.O. Molecular structure of the methyl and phenyl derivatives of bis(2,2'-biphenylylene)phosphorene / R.O. Day, S. Husebye, R.R. Holmes // Inorg. Chem. – 1980. – V. 19. – P. 3616–3622. DOI: 10.1021/ic50214a011.
22. A Facile Access to  $1\lambda^5$ ,  $3\lambda^5$ -Benzodiphospholes / H.J. Bestmann, H.P. Oechsner, C. Egerer-Sieber et. al. // Angew. Chem. Int. Ed. – 1995. – V. 34. – P. 2017–2020. DOI: 10.1002/anie.199520171.
23. Hazell, A. Mono-, di- and poly-nuclear transition-metal complexes of a bis(tridentate) ligand: towards *p*-phenylenediamine-bridged co-ordination polymers / A. Hazell, C.J. McKenzie, L.P. Nielsen // J. Chem. Soc., Dalton Trans. – 1998. – P. 1751–1756. DOI: 10.1039/A800602D.
24. Palladium complexes with pyrimidine-functionalized n-heterocyclic carbene ligands: synthesis, structure and catalytic activity / D. Meyer, M.A. Taige, A. Zeller et al. // Organometallics. – 2009. – V. 28, № 7. – P. 2142–2149. DOI: 10.1021/om8009238.
25. On the electronic impact of abnormal C4-bonding in N-heterocyclic carbene complexes / M. Heckenroth, A. Neels, M.G. Garnier et al. // Chem. Eur. J. – 2009. – V. 15, № 37. – P. 9375–9386. DOI: 10.1002/chem.200900249.

**Шарутин Владимир Викторович** – доктор химических наук, главный научный сотрудник управления научной и инновационной деятельности, Южно-Уральский государственный университет. 454080, г. Челябинск, проспект Ленина, 76. E-mail: sharutin50@mail.ru.

Поступила в редакцию 18 апреля 2019 г.

## STRUCTURE OF ORGANIC AND ORGANOELEMENTAL COMPOUNDS

V.V. Sharutin, sharutin50@mail.ru

South Ural State University, Chelyabinsk, Russian Federation

The structure of eight organic and organoelemental compounds was determined by X-ray structural analysis (XRD). XRD analysis of compounds was performed on an automatic four-circle diffractometer D8 Quest Bruker ( $\text{MoK}_{\alpha}$ ,  $\lambda = 0.71073 \text{ \AA}$ , 293 K). **1** ( $\text{C}_{23}\text{H}_{30}\text{Cl}_4\text{O}_2\text{PRuS}_2$ ,  $P-1$ ,  $a = 8.4181(3)$ ,  $b = 8.9389(3)$ ,  $c = 11.1396(4) \text{ \AA}$ ,  $\alpha = 69.754(1)$ ,  $\beta = 81.913(2)$ ,  $\gamma = 64.491(1) \text{ deg.}$ ,  $V = 709.75(4) \text{ \AA}^3$ ,  $Z = 1$ ). **2** ( $\text{C}_{21}\text{H}_{18}\text{Cl}_4\text{NP}$ ,  $P 21/n$ ,  $a = 9.846(6) \text{ \AA}$ ,  $b = 15.782(14) \text{ \AA}$ ,  $c = 15.111(10) \text{ \AA}$ ,  $\alpha = 90^\circ$ ,  $\beta = 91.027(18)^\circ$ ,  $\gamma = 90^\circ \text{ deg.}$ ,  $V = 2348(3) \text{ \AA}^3$ ,  $Z = 4$ ). **3** ( $\text{C}_{30}\text{H}_{24}\text{NO}_3\text{Sb}$ ,  $P-1$ ,  $a = 11.101(6)$ ,  $b = 12.684(6)$ ,  $c = 19.359(9) \text{ \AA}$ ,  $\alpha = 80.973(17)^\circ$ ,  $\beta = 80.17(2)^\circ$ ,  $\gamma = 72.31(3)^\circ \text{ deg.}$ ,  $V = 2543(2) \text{ \AA}^3$ ,  $Z = 4$ ). **4** ( $\text{C}_{21}\text{H}_{15}\text{Br}_3\text{Sb}$ ,  $P-1$ ,  $a = 6.273(12)$ ,  $b = 12.83(2)$ ,  $c = 13.26(3) \text{ \AA}$ ,  $\alpha = 78.67(8)^\circ$ ,  $\beta = 84.33(9)^\circ$ ,  $\gamma = 80.81(7)^\circ \text{ deg.}$ ,  $V = 1031(3) \text{ \AA}^3$ ,  $Z = 2$ ). **5** ( $\text{C}_{24}\text{H}_{22}\text{BrOP}$ ,  $P-1$ ,  $a = 10.025(10)$ ,  $b = 10.676(10)$ ,  $c = 10.706(13) \text{ \AA}$ ,  $\alpha = 77.56(4)^\circ$ ,  $\beta = 71.80(4)^\circ$ ,  $\gamma = 83.26(3)^\circ \text{ deg.}$ ,  $V = 1061(2) \text{ \AA}^3$ ,  $Z = 2$ ). **6** ( $\text{C}_{21}\text{H}_{21}\text{O}_3\text{Sb}$ ,  $R-3$ ,  $a = 13.27(3)$ ,  $b = 13.27(3)$ ,  $c = 19.24(7) \text{ \AA}$ ,  $\alpha = 77.56(4)^\circ$ ,  $\beta = 90^\circ$ ,  $\gamma = 120^\circ \text{ deg.}$ ,  $V = 2935(20) \text{ \AA}^3$ ,  $Z = 6$ ). **7** ( $\text{C}_{26}\text{H}_{21}\text{ClNP}$ ,  $P 21/n$ ,  $a = 9.456(6)$ ,  $b = 14.733(9)$ ,  $c = 16.271(9) \text{ \AA}$ ,  $\alpha = 90^\circ$ ,  $\beta = 104.83(2)^\circ$ ,  $\gamma = 90^\circ \text{ deg.}$ ,  $V = 2191(2) \text{ \AA}^3$ ,  $Z = 4$ ). **8** ( $\text{C}_{19}\text{H}_{18}\text{ClOP}$ ,  $P 21/c$ ,  $a = 8.888(9)$ ,  $b = 17.795(19)$ ,  $c = 11.278(12) \text{ \AA}$ ,  $\alpha = 90^\circ$ ,  $\beta = 99.52(4)^\circ$ ,  $\gamma = 90^\circ \text{ deg.}$ ,  $V = 1759(3) \text{ \AA}^3$ ,  $Z = 4$ .

*Keywords:* structure, organic compound, organoelemental compound, X-ray structural analysis.

### References

1. Bruker. SMART and SAINT-Plus. Versions 5.0. Data Collection and Processing Software for the SMART System. Bruker AXS Inc., Madison, Wisconsin, USA, 1998.
2. Bruker. SHELXTL/PC. Versions 5.10. An Integrated System for Solving, Refining and Displaying Crystal Structures From Diffraction Data. Bruker AXS Inc., Madison, Wisconsin, USA, 1998.
3. Dolomanov O.V., Bourhis L.J., Gildea R.J., Howard J.A.K., Puschmann H. OLEX2: a Complete Structure Solution, Refinement and Analysis Program. *J. Appl. Cryst.*, 2009, vol. 42, pp. 339–341. DOI: 10.1107/S0021889808042726.
4. Cambridge Crystallographic Data Center. 2016 (deposit@ccdc.cam.ac.uk; <http://www.ccdc.cam.ac.uk>).
5. Sharutina O.K., Sharutin V.V. *Molekulyarnye struktury organicheskikh soedineniy sur'my (V)*. [The molecular structure of organic compounds antimony(V)]. Chelyabinsk, South Ural St. Univ. Publ., 2012. 395 p. (in Russ.)
6. Sharutin V.V., Sharutina O.K., Gubanova Y.O., Bregadze V.I., Glazun S.A. Interaction of Pentaphenylantimony with Carboranedicarboxylic Acid. *J. Organomet. Chem.*, 2015, vol. 798, pp. 41–45.
7. Sharutin V.V., Sharutina O.K., Gubanova Y.O., Bregadze V.I., Glazun S.A., Andreev P.V. Synthesis and Structure of bic(tetraphenyl- $\lambda^5$ -stibanyl)-1,7-carborane-1,7-dicarboxylate. *Mendeleev Commun.*, 2018, vol. 28, pp. 621–622.
8. Rawashdeh-Omary M.A., Omary M.A., Patterson H.H. Oligomerization of  $\text{Au}(\text{CN})_{2-}$  and  $\text{Ag}(\text{CN})_{2-}$ -ions in Solution via Ground-State Auophilic and Argentophilic Bonding. *J. Am. Chem. Soc.*, 2000, vol. 122, pp. 10371–10380. DOI: 10.1021/ja001545w.
9. Rawashdeh-Omary M.A., Omary M.A., Shankle G.E., Patterson H.H. Luminescence Thermochromism in Dicyanoargentate(I) Ions Doped in Alkali Halide Crystals. *J. Phys. Chem. B*, 2000, vol. 104, pp. 6143–6151. DOI: 10.1021/jp000563x.
10. Assefaa Z., Haireb R.G., Sykorac R.E. Hydrothermal Syntheses, Structural, Raman, and Luminescence Studies of  $\text{Cm}[\text{M}(\text{CN})_2]_3 \cdot 3\text{H}_2\text{O}$  and  $\text{Pr}[\text{M}(\text{CN})_2]_3 \cdot 3\text{H}_2\text{O}$  ( $\text{M} = \text{Ag}, \text{Au}$ ) 2. Hetero-Bimetallic Coordination Polymers Consisting of Trans-Plutonium and Transition Metal Elements. *Journal of Solid State Chemistry*, 2008, vol. 181, pp. 382–391. DOI: 10.1016/j.jssc.2007.11.036.

11. Colis J.C.F., Larochelle Ch., Fernández E.J., López-de-Luzuriaga J.M., Monge M., Laguna, Carl Tripp A., Patterson H. Tunable Photoluminescence of Closed-Shell Heterobimetallic Au-Ag Di-cyanide Layered Systems. *J. Phys. Chem. B.*, 2005, vol. 109, pp. 4317–4323. DOI: 10.1021/jp045868g.
12. Assefaa Z., Kalachnikova K., Hairec R.G., Sykora R.E. Hydrothermal Synthesis, Structural, Raman, and Luminescence Studies of  $\text{Am}[\text{M}(\text{CN})_2]_3 \cdot 3\text{H}_2\text{O}$  and  $\text{Nd}[\text{M}(\text{CN})_2]_3 \cdot 3\text{H}_2\text{O}$  ( $\text{M} = \text{Ag}, \text{Au}$ ): Bimetallic Coordination Polymers Containing Both Trans-Plutonium and Transition Metal Elements. *Journal of Solid State Chemistry*, 2007, vol. 180, pp. 3121–3129. DOI: 10.1016/j.jssc.2007.08.032.
13. Roberts R.J., Le D., Leznoff D.B. Color-Tunable and White-Light Luminescence in Lanthanide-Dicyanoaurate Coordination Polymers. *Inorg. Chem.*, 2017, vol. 56, no. 14, pp. 7948–7959. DOI: 10.1021/acs.inorgchem.7b00735.
14. Wheatley P.J. The Crystal and Molecular Structure of Aspirin. *J. Am. Chem. Soc.*, 1964, pp. 6036–6048. DOI: 10.1039/JR9640006036.
15. Chen W.-C., Shih W.-C., Jurca T., Andrada D.M., Peng C.-J., Chang C.-C., Liu S.-K., Wang Y.-P., Wen Y.-S. Carbodicarbene: Unexpected  $\pi$ -Accepting Ability during Reactivity with Small Molecules. *J. Am. Chem. Soc.*, 2017, vol. 139, pp. 12830–12836. DOI: 10.1021/jacs.7b08031.
16. Allen D.W., March L.A., Nowell I.W., Tebby J.C. The Chemistry of Heteroarylphosphorus Compounds, Part 16.+ An X-Ray Structural Study of (2-Thienyl)bis(2,2'-biphenylidene)phosphorane. A Comparison with Related Methyl and Aryl bis(2,2'-biphenylidene)-spirophosphoranes. *Z. Naturforsch. B. Chem. Sci.*, 1983, bd. 38, pp. 465–469. DOI: 10.1515/znb-1983-0413.
17. Barnes N.A., Godfrey S.M., Halton R.T.A., Law S., Prichard R.D. Form Formation of a Dicyanotriorganophosphorane from the Reaction of Triphenylphosphane with Phenylselenocyanate. *Angew. Chem. Int. Ed.* 2006, vol. 45, pp. 1272–1275. DOI: 10.1002/anie.200503335.
18. Monkowius U., Mitzel N.W., Schier A., Schmidbaur H. 5-Organyl-5-phosphaspiro[4.4]nonanes: a Contribution to the Structural Chemistry of Spirocyclic Tetraalkylphosphonium Salts and Pentaalkylphosphoranes. *J. Am. Chem. Soc.*, 2002, vol. 124, pp. 6126–6132. DOI: 10.1021/ja012041g.
19. Ruiz J., Marquinez F., Riera V., Vivanco M., Garsia-Granda S., Diaz M.R. Diphenylketenimines: new Reagents for the Synthesis of Unique Phosphorus Heterocycles. *Chem.-Eur. J.*, 2002, vol. 8, pp. 3872–3878. DOI: 10.1002/1521-3765(20020902)8:17.
20. Muller G., Bildmann U.J. [Crystal and Molecular Structure of  $\text{P}(\text{C}_6\text{H}_5)_5 \cdot 0.5 \text{ THF}$ ]. *Z. Naturforsch. B. Chem. Sci.*, 2004, bd. 59, no. 11–12, pp. 1411–1414. DOI: 10.1515/znb-2004-11-1207.
21. Day R.O., Husebye S., Holmes R.R. [Molecular Structure of the Methyl and Phenyl Derivatives of Bis(2,2'-biphenylidene)phosphorene]. *Inorg. Chem.*, 1980, vol. 19, pp. 3616–3622. DOI: 10.1021/ic50214a011.
22. Bestmann H.J., Oechsner H.P., Egerer-Sieber C., Kisielowski L., Hampel F. [A Facile Access to  $1\lambda^5$ ,  $3\lambda^5$ -Benzodiphospholes]. *Angew. Chem. Int. Ed.*, 1995, vol. 34, pp. 2017–2020. DOI: 10.1002/anie.199520171.
23. Hazell A., McKenzie C.J., Nielsen L.P. Mono-, Di- and Poly-nuclear Transition-metal Complexes of a Bis(tridentate) Ligand: Towards *p*-Phenylenediamine-bridged Coordination Polymers. *J. Chem. Soc., Dalton Trans.*, 1998, pp. 1751–1756. DOI: 10.1039/A800602D.
24. Meyer D., Taige M.A., Zeller A., Hohlfeld K., Ahrens S., Strassner T. Palladium Complexes with Pyrimidine-Functionalized N-Heterocyclic Carbene Ligands: Synthesis, Structure and Catalytic Activity. *Organomet.*, 2009, vol. 28, no. 7, pp. 2142–2149. DOI: 10.1021/om8009238.
25. Heckenroth M., Neels A., Garnier M.G., Aebi Ph., Ehlers A.W., Albrecht M. On the Electronic Impact of Abnormal C4-Bonding in N-Heterocyclic Carbene Complexes. *Chem. Eur. J.*, 2009, vol. 15, no. 37, pp. 9375–9386. DOI: 10.1002/chem.200900249.

*Received 18 April 2019*

#### ОБРАЗЕЦ ЦИТИРОВАНИЯ

Шарутин, В.В. Строение органических и элементоорганических соединений / В.В. Шарутин // Вестник ЮУрГУ. Серия «Химия». – 2019. – Т. 11, № 3. – С. 40–49. DOI: 10.14529/chem190305

#### FOR CITATION

Sharutin V.V. Structure of Organic and Organoelemental Compounds. *Bulletin of the South Ural State University. Ser. Chemistry*. 2019, vol. 11, no. 3, pp. 40–49. (in Russ.). DOI: 10.14529/chem190305